

Investigating the Brain Causal and Instantaneous Relations Using Information Theory

A. Khadem^{1*}, G.A. Hossein-Zadeh²

¹PHD Candidate of Biomedical Engineering Group, The Control and Intelligent Processing Center of Excellence, School of Electrical and Computer Engineering, College of Engineering, University of Tehran, Tehran

²Associate Professor of Biomedical Engineering Group, The Control and Intelligent Processing Center of Excellence, School of Electrical and Computer Engineering, College of Engineering, University of Tehran,
School of Cognitive Sciences, Institute for Research in Fundamental Sciences (IPM), Tehran, ghzadeh@ut.ac.ir

Abstract

Exploring the causal (delayed) brain relations is an important topic in the Neuroscience. The traditional estimators of brain causal (delayed) relations are mainly model-based and put restrictive assumptions on the brain dynamics. In the recent years, some nonparametric measures have been introduced to solve this problem. Among them, the most important one is Transfer Entropy (TE) which is based on the information theory and Conditional Mutual Information concept. However, in the presence of significant instantaneous relations that are observed extensively in the brain functional datasets, TE may estimate the causal (delayed) relations inaccurately. In this paper, two information theoretic based measures called Instantaneous Interaction (II) and Modified Transfer entropy (MTE) are introduced to estimate the instantaneous and causal (delayed) brain relations, respectively. MTE is used instead of TE whenever II is significant. These measures are evaluated on 3 simulated models and eyes-closed resting state EEG data. The simulation results show high ability of II to estimate the linear and nonlinear instantaneous relations. Also, based on the simulation results MTE outperforms TE to estimate causal (delayed) relations in presence of significant instantaneous relations (significant II). For the real EEG data, II detects a significant instantaneous relation between Posterior and Frontal EEG channels. Also MTE detects the information flow from Posterior EEG channels to Frontal ones more significantly than TE does. So in presence of significant instantaneous relations in the real EEG data, MTE outperforms TE.

Key words: Causal (delayed) Relations, Instantaneous Relations, Information Theory, Transfer Entropy (TE), EEG.

*Corresponding author

Address: Brain Mapping Laboratory, School of Electrical and Computer Engineering, College of Engineering, University of Tehran, North Kargar Ave., P.O. Box: 14395-515, Tehran, I.R. Iran
Tel: +982182089738
Fax: +982188778690
E-mail: alikhadem@ut.ac.ir

بررسی توأم ارتباطات علی و لحظه‌ای مغزی در بستر تئوری اطلاعات

علی خادم^{۱*}، غلامعلی حسینزاده^۲

^۱دانشجوی دکتری گروه مهندسی پزشکی، قطب علمی کنترل و پردازش هوشمند، دانشکده مهندسی برق و کامپیوتر، پردیس دانشکده‌های فنی، دانشگاه تهران، تهران

^۲دانشیار گروه مهندسی پزشکی، قطب علمی کنترل و پردازش هوشمند، دانشکده مهندسی برق و کامپیوتر، پردیس دانشکده‌های فنی، دانشگاه تهران، تهران

^{*}پژوهشکده علوم شناختی، پژوهشگاه دانش‌های بنیادی (IPM)، تهران، ghzadeh@ut.ac.ir

چکیده

بررسی ارتباطات علی (تأخیری) مغزی، از جایگاه مهمی در حوزه علوم اعصاب برخوردار است. معیارهای مرسوم اندازه‌گیری ارتباطات علی (تأخیری) مغزی، عمدتاً پارامتری و مبتنی بر مدل هستند و فرض‌های محدود کننده‌ای نسبت به ماهیت ارتباطات مغزی در نظر می‌گیرند. در سالهای اخیر، معیارهایی ناپارامتری برای رفع این نقیصه مطرح شده‌اند که از مهمترین آنها می‌توان آنتروپی انتقال (TE) را نام برد. این معیار در بستر تئوری اطلاعات و بر پایه مفهوم اطلاعات متقابل شرطی تعریف شده است. با وجود این، در حضور ارتباطات لحظه‌ای قوی -که به طور گسترده‌ای در داده‌های مغزی مشاهده می‌شوند- TE ممکن است در تخمین صحیح ارتباطات علی (تأخیری) دچار اشتباه شود. در این پژوهش، دو معیار مبتنی بر تئوری اطلاعات با عنوان اندرکنش لحظه‌ای (II) و آنتروپی انتقال اصلاح شده (MTE) معرفی می‌شوند که معیار اول برای تخمین ارتباطات لحظه‌ای مغزی و معیار دوم برای تخمین ارتباطات علی (تأخیری) مغزی در حضور ارتباط لحظه‌ای معنی‌دار به کار می‌رود. عملکرد این معیارها بر ۳ مدل شبیه‌سازی و داده‌های الکتروانسفالوگرام (EEG) حالت استراحت مغزی با چشمان بسته بررسی شدند. نتایج شبیه‌سازی‌ها حاکی از توانایی زیاد II جهت تخمین ارتباطات لحظه‌ای خطی و غیرخطی است. همچنین بر طبق نتایج شبیه‌سازی‌ها اگر چه در حضور ارتباط لحظه‌ای معنی‌دار (II معنی‌دار) عملکرد TE در تشخیص ارتباطات علی (تأخیری) تضعیف می‌شود؛ به خوبی این نقیصه را جبران می‌کند. نتایج داده‌های EEG نشان می‌دهد که II ارتباطات لحظه‌ای معنی‌داری بین نواحی خلفی و نواحی قدامی مغز تخمین می‌زند و MTE در مقایسه با TE جریان اطلاعات از نواحی خلفی به نواحی قدامی را به طور معنی‌دارتری نشان می‌دهد که تطابق خوبی با نتایج تحقیقات گذشته در این حوزه دارد.

کلیدواژگان: ارتباطات علی (تأخیری)، ارتباطات لحظه‌ای، تئوری اطلاعات، آنتروپی انتقال (TE)، الکتروانسفالوگرام (EEG).

*عهده‌دار مکاتبات

نشانی: تهران، خیابان کارگر شمالی، پردیس دانشکده‌های فنی، دانشکده مهندسی برق و کامپیوتر، آزمایشگاه نگاشت مغز، صندوق پستی: ۱۴۳۹۵-۵۱۵

تلفن: ۰۲۱۸۲۰۸۹۷۳۸، دورنگار: ۰۲۱۸۸۷۷۸۶۹۰، پیام نگار: alikhadem@ut.ac.ir

۱- مقدمه

تأخیری نیز نامید. در نتیجه ارتباطی که در لحظه و بدون تأخیر رخ می‌دهد، یک اندرکنش متقابل بدون جهت است و نه یک ارتباط علی. نظریه علیت وینر بستر مناسبی برای بررسی ارتباطات علی و معلولی ایجاد می‌کرد؛ ولی فاقد چارچوبی سیستماتیک برای کردن ارتباطات علی (تأخیری) موجود در یک سیستم بود. کلیو گرنجر^۹ در سال ۱۹۷۹ چارچوبی سیستماتیک برای کمی کردن مفهوم علیت وینر در قالب مدل‌های خودبازگشته دو متغیره^{۱۰} ارائه و مفهوم علیت وینر را کاربردی کرد [۳]. به همین دلیل امروزه اغلب از عبارت علیت گرنجر^{۱۱} (GC) به جای علیت وینر استفاده می‌شود. تا کنون معیارهای متفاوتی برای تخمين ارتباطات علی (تأخیری) بر پایه علیت گرنجر ارائه شده‌اند که اکثر آنها پارامتری و مبتنی بر مدل هستند. معیارهای تخمين ارتباطات علی (تأخیری) که پارامتری و مبتنی بر مدل هستند، الگوی ارتباطات علی (تأخیری) را به قالب‌های خاصی که با مدل ارائه می‌شوند، محدود می‌کنند. این مدل‌ها غالباً از ارتباطات خطی مانند مدل‌های خطی خودبازگشته چندمتغیره^{۱۲} (MVAR) [۴] و گاهی از ارتباطات غیرخطی ساده [۵] استفاده می‌کنند. این در حالی است که دینامیک ارتباطات مغزی در حالت کلی مشخص نیست و نمی‌توان به سادگی ماهیت ارتباطات مغزی را به یک مدل محدود کننده از پیش تعیین شده، منحصر کرد. در نتیجه استفاده از معیارهای تخمين ارتباطات علی (تأخیری) مبتنی بر مدل‌های محدود کننده، ممکن است منجر به تخمين نادرست ارتباطات مغزی شود. تئوری اطلاعات^{۱۳} ابزار نیز و مندی است که می‌تواند با رویکردی بدون مدل و ناپارامتری^{۱۴} به بررسی وابستگی‌های آماری میان متغیرهای تصادفی پردازد. با تلفیق مفهوم علیت وینر و اطلاعات متقابل شرطی^{۱۵} در بستر تئوری اطلاعات، معیار ناپارامتری مهمی برای تخمين ارتباطات علی (تأخیری) با نام آنتروپی انتقال^{۱۶} (TE) ارائه شده است که می‌تواند کلیه ارتباطات علی (تأخیری) خطی و غیرخطی موجود در یک سیستم را اندازه گیری کند [۶]. بر طبق مطالعات گذشته تقریباً در همه تکنیک‌های اخذ داده‌های مغزی، ارتباطات لحظه‌ای قوی بین داده‌های اخذ شده از نواحی EEG مجزای مغزی دیده می‌شود [۷]. برای مثال بین سیگنال‌های MEG^{۱۷} یا EEG^{۸، ۹}، بین سیگنال‌های الکتریکی ثبت

مغز انسان بدون شک یکی از پیچیده‌ترین سیستم‌های موجود در جهان طبیعت است. تاکنون مطالعات بسیاری با هدف شناسایی ساختار و چگونگی عملکرد آن انجام شده است، با این حال هنوز مجهولات بسیاری در این زمینه وجود دارند. در گذشته، اغلب مطالعات به دنبال یافتن نواحی مجزای مغزی بر پایه نظریه تخصیص عملکردی مغز^۱ بودند، که هر یک مسئول انجام فعالیتهای مشخص مغزی است [۱]. با این حال، در دو دهه اخیر به نظریه مکمل دیگری نیز با عنوان نظریه یکپارچگی عملکردی مغز^۲ توجه شده است. بر پایه این نظریه، حتی برای ساده‌ترین فعالیتهای مغزی مانند وضعیت استراحت مغز^۳، ارتباطاتی میان فعالیت نواحی مجزای مغزی وجود دارد تا سیستم مغزی عملکردی هماهنگ و یکپارچه داشته باشد [۱]. ارتباطات میان فعالیت نواحی مغزی به دو شاخه اصلی تقسیم می‌شوند: ارتباطات کارکرده^۴ که وابستگی‌های آماری و بدون جهت مغزی را در بر دارند و ارتباطات مؤثر^۵ که ارتباطات علی و جهت‌دار مغزی را شامل می‌شوند [۱].

بررسی ارتباطات علی (تأخیری) مغزی، موضوعی جدید و رو به رشد در حوزه علوم اعصاب است. این شاخه از علوم اعصاب به دانشمندان و محققان این امکان را می‌دهد تا به اطلاعات جامعتری در مورد عملکرد مغز دست یابند و راهکارهای تشخیصی و درمانی بهتری برای بیماری‌های مغزی ارائه کنند. علیت، مفهومی پیچیده و چالش‌برانگیز است که به سادگی قابل اندازه‌گیری و کمی‌سازی نیست. نوربرت وینر^۶ در سال ۱۹۵۶ نظریه بسیار مهمی را تحت عنوان علیت وینر^۷ (WC) مطرح کرد که از طریق جایگزینی مفهوم پیش‌بینی پذیری^۸ با مفهوم علیت، به کمی سازی مفهوم علیت کمک کرد [۲]. بر پایه علیت وینر در صورتی که افزودن اطلاعات گذشته و حال سیستم X به اطلاعات گذشته و حال سیستم Y، دقت پیش‌بینی وضعیت آینده سیستم Y را در مقایسه با حالتی بهبود دهد که در آن تنها اطلاعات گذشته و حال سیستم Y موجود باشد؛ می‌توان گفت X علیت Y است [۲]. در مفهوم علیت وینر، علیت همیشه باید از نظر زمانی مقدم بر معلوم باشد که این مطلب کاملاً شهودی به نظر می‌رسد و لذا می‌توان در این چارچوب، ارتباط علی را ارتباط

^۱Brain Functional Specialization

^۲Effective Connectivity

^۳Clive Granger

^۴Information Theory

^۵Transfer Entropy

⁶Brain Functional Integration

⁷Bivariate AutoRegressive Models

⁸Nonparametric

⁹MagnetoEncephaloGram

¹⁰Brain Resting State

¹¹Wiener Causality

¹²Granger Causality

¹³Conditional Mutual Information

¹⁴Functional Connectivity

¹⁵Predictability

¹⁶MultiVariate AutoRegressive

می‌شوند. سپس معیارهای II و MTE ارائه خواهد شد و الگوریتمی بمنظور بررسی توأم ارتباطات لحظه‌ای و علی‌تأخیری) پیشنهاد خواهد شد. در بخش (۳)، ساختار شبیه‌سازی‌ها و داده‌های EEG حالت استراحت مغزی^{۳۲} با چشمان بسته – که در این مقاله استفاده می‌شوند – معرفی می‌شود. در بخش (۴) نتایج معیارها و الگوریتم ارائه شده بر مدل‌های شبیه‌سازی شده و نیز داده‌های EEG ارزیابی خواهد شد. در نهایت در بخش (۵) ضمن نتیجه گیری و پیشنهادهایی برای ادامه تحقیق ارائه خواهد شد.

۲- معرفی ابزار مورد نیاز و ارائه روش پیشنهادی

در این بخش، ابتدا برخی ابزار و مفاهیم پایه‌ای مورد نیاز در حوزه تئوری اطلاعات با استفاده از مرجع [۱۹] به اختصار معرفی شده؛ سپس معیار آنتروپی انتقال (TE) به طور اجمالی معرفی می‌شود. در ادامه به ترتیب معیارهای II و MTE برای تخمین ارتباطات لحظه‌ای و علی‌تأخیری) ارائه می‌شوند و روشی جهت بررسی توأم ارتباطات لحظه‌ای و علی‌تأخیری) پیشنهاد خواهد شد.

۲-۱- خلاصه برخی مفاهیم موردنیاز در حوزه تئوری اطلاعات

اصول اولیه تئوری اطلاعات را کلود شنون^{۳۳} در سال ۱۹۴۹ تدوین کرد. آنtronپی، بنیادی‌ترین مفهوم در حوزه تئوری اطلاعات است. $H(X)$ آنtronپی شنون^{۳۴} متغیر تصادفی گستته X با تابع چگالی احتمال^{۳۵} $p(x)$ است و با رابطه (۱) تعریف می‌شود:

$$H(X) = -\sum_x p(x) \log(p(x)) \quad (1)$$

اگر در رابطه (۱) مبنای لگاریتم برابر ۲ باشد، $H(X)$ میانگین تعداد بیت‌های لازم برای کد کردن متغیر تصادفی گستته X را نشان می‌دهد و واحد آن bits خواهد بود. همچنین اگر رابطه (۱) مبنای لگاریتم برابر e باشد (لگاریتم طبیعی) واحد $H(X)$ nits می‌شود.

$MI(X,Y)$ اطلاعات متقابل^{۳۶} بین دو متغیر تصادفی گستته X و Y را نشان می‌دهد و با رابطه (۲) تعریف می‌شود:

^{۱۸}ElectroCorticoGram ^{۱۹}Functional Magnetic Resonance Imaging
^{۲۲}Active Common Reference ^{۲۳}Dynamic Relaying
^{۲۶}Convolution ^{۲۷}Local Field Potentials
^{۳۰}Significant ^{۳۱}Modified Transfer Entropy
^{۳۴}Shannon Entropy ^{۳۵}Probability Density Function

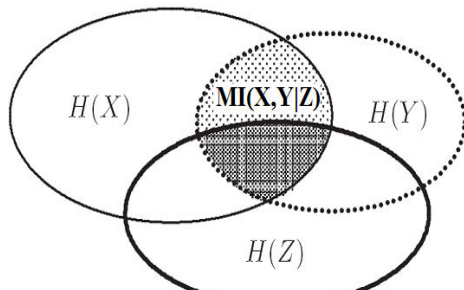
شده از سطح کورتکس^{۱۸} (ECOG) و نیز بین سیگنال‌های fMRI^{۱۹} اخذ شده از بسیاری نواحی مجرای مجرای مغزی [۱۳، ۱۴] ارتباطات لحظه‌ای قوی دیده می‌شود. منظور از ارتباطات لحظه‌ای، ارتباطاتی است که بدون تأخیر (در تأخیر زمانی صفر^{۲۰}) و در لحظه رخ می‌دهند و به هیچ عنوان با عبارات تأخیری قابل توصیف و مدل‌سازی کامل نیستند. برخی علل شناخته شده ایجاد این ارتباطات لحظه‌ای عبارتند از: ۱) آثار هادی حجمی^{۲۱} ناشی از پخش شدگی میدانهای الکتریکی برای داده‌های EEG و با شدت کمتری برای داده‌های ECOG و همچنین ناشی از پخش شدگی میدانهای مغناطیسی برای داده‌های MEG [۱۵] ۲) اثر مرجع مشترک فعال^{۲۲} برای داده‌های EEG/MEG و ECOG [۱۶] ۳) پدیده رله کردن دینامیکی^{۲۳} تالاموس^{۲۴} [۱۲، ۱۷] و هیپوکمپوس^{۲۵} [۱۸] برای همه داده‌های مغزی^{۲۶} کوچکتر بودن مقیاس ارتباطات از قدرت تفکیک (رزولوشن) زمانی مورد استفاده (دوره تناوب نمونه برداری) به ویژه برای داده‌های fMRI [۱۳، ۱۴] ۵) کانولوشن^{۲۶} پتانسیلهای میدانی محلی^{۲۷} (LFPs) با تابع پاسخ همودینامیک^{۲۸} و کند شدن دینامیک ارتباطات علی‌تأخیری) بین LPF ها در داده‌های fMRI [۱۳، ۱۴]

در نظر نگرفتن ارتباطات لحظه‌ای موجود بین داده‌های مغزی می‌تواند منجر به بروز خطا در تخمین ارتباطات علی‌تأخیری) مغزی شود [۱۴، ۱۳، ۱۱-۸]. در این مقاله راهکاری برای کاهش این مشکل در هنگام استفاده از معیار آنtronپی انتقال (TE) بیان می‌شود. علاوه معياري مبتنی بر تئوري اطلاعات با عنوان اندرکنش لحظه‌ای^{۲۹} (II) برای تخمین و کمی کردن ارتباطات لحظه‌ای داده‌های مغزی ارائه می‌شود. در صورتی که ارتباطات لحظه‌ای معنی دار باشد، مقدار II معنی دار^{۳۰} تخمین زده می‌شود و TE ممکن است برای تخمین ارتباطات علی‌تأخیری) پاسخهای نادرستی داشته باشد. به همین دلیل در این حالت معیار دیگری تحت عنوان آنtronپی انتقال اصلاح شده^{۳۱} (MTE) معرفی شده؛ به جای TE استفاده می‌شود. در غیر این صورت اگر مقدار II معنی دار نباشد می‌توان از همان معیار TE معمول جهت تخمین ارتباطات علی‌تأخیری) بهره برد.

در بخش بعدی این مقاله، برخی ابزار و مفاهیم پایه‌ای مورد نیاز در حوزه تئوری اطلاعات و نیز معیار TE به اختصار معرفی

^{۲۰}Zero-lag ^{۲۱}Volume Conduction Effects
^{۲۴}Thalamus ^{۲۵}Hippocampus
^{۲۸}Hemodynamic Response Function ^{۲۹}Instantaneous Interaction
^{۳۲}Brain Resting State ^{۳۳}Claude Shannon
^{۳۶}Mutual Information

$$\begin{aligned} MI(X, Y | Z) &= \sum_{x,y,z} p(x, y, z) \log \left(\frac{p(x, y | z)}{p(x | z).p(y | z)} \right) \\ &= \sum_{x,y,z} p(x, y, z) \log \left(\frac{p(x, y, z).p(z)}{p(x, z).p(y, z)} \right) \\ MI(X, Y | Z) &= H(X, Z) + H(Y, Z) - H(Z) - H(X, Y, Z) \end{aligned} \quad (7) \quad (8)$$



شکل (۱)- به تصویر کشیدن نمادین مفهوم اطلاعات متقابل شرطی $MI(X, Y | Z)$

از تلفیق مفهوم علیت وینر- که در بخش (۱) توصیف شد- با اطلاعات متقابل شرطی، معیار ناپارامتری مهمی برای تخمین ارتباطات علی (تأثیری) با عنوان آنتروپی انتقال (TE)، در مبنی [۶] ارائه شده است. TE برایند ارتباطات علی (تأثیری) خطی و غیرخطی بین دو متغیر تصادفی X و Y را اندازه‌گیری می‌کند. فرض کنید $X(t)$ و $Y(t)$ که $t=1, \dots, L$ به ترتیب مشاهدات دو متغیر تصادفی X و Y در یک بازه زمانی هستند. $TE(X \rightarrow Y)$ یا به اختصار TE_{XY} نشان می‌دهد که با فرض دانستن مشاهدات گذشته و حال متغیر تصادفی Y ($\underline{Y}_t^{d_{Y, T_Y}}$)، با مشاهده گذشته و حال متغیر تصادفی X ($\underline{X}_t^{d_{X, T_X}}$) چه میزان به اطلاعات موجود درباره آینده متغیر تصادفی Y ($Y(t+\tau); \tau > 0$) افزوده می‌شود.

با رابطه (۹) تعريف می‌شود:

$$TE(X \rightarrow Y) = TE_{XY} = \quad (9)$$

$$MI(Y(t+\tau), \underline{X}_t^{d_{X, T_X}} | \underline{Y}_t^{d_{Y, T_Y}})$$

$$\underline{X}_t^{d_{X, T_X}} = (X(t), X(t-\tau_X), \dots, X(t-(d_X-1)\tau_X)) \quad (10)$$

$$\underline{Y}_t^{d_{Y, T_Y}} = (Y(t), Y(t-\tau_Y), \dots, Y(t-(d_Y-1)\tau_Y)) \quad (11)$$

$$\underline{Y}_t^{d_{Y, T_Y}} \text{ که به ترتیب در روابط (۱۰) و (۱۱)}$$

تعاریف شده‌اند، بردارهای وضعیت گذشته و حال متغیرهای

$$MI(X, Y) = \sum_{x,y} p(x, y) \log \left(\frac{p(x, y)}{p(x).p(y)} \right) \quad (2)$$

در رابطه (۲) $p(x)$ و $p(y)$ به ترتیب توابع چگالی احتمال متغیرهای تصادفی X و Y هستند و $p(x, y)$ نیز تابع چگالی احتمال توأم^{۳۷} X و Y است. $MI(X, Y)$ میزان اطلاعاتی را که با مشاهده هر یک از متغیرهای تصادفی X یا Y نسبت به دیگری به دست می‌آید، اندازه‌گیری می‌کند و سه ویژگی بسیار مهم دارد:

- $MI(X, Y)$ همواره نامنفی است.
- $MI(X, Y)$ برابر صفر است اگر و تنها اگر متغیرهای تصادفی X و Y از هم مستقل باشند.
- $MI(X, Y) = MI(Y, X)$ ، در واقع اطلاعات متقابل تابعی متقارن است.

در نتیجه ویژگی‌های فوق، $MI(X, Y)$ می‌تواند برآیند واپس‌گیری‌های خطی و غیرخطی بین متغیرهای تصادفی X و Y را اندازه‌گیری کند. $MI(X, Y)$ را می‌توان با استفاده از مفهوم آنتروپی شنون مطابق رابطه (۳) بازنویسی کرد.

$$\begin{aligned} MI(X, Y) &= H(X) + H(Y) - H(X, Y) \\ &= H(X) - H(X | Y) \\ &= H(Y) - H(Y | X) \end{aligned} \quad (3)$$

در رابطه (۳) $H(X, Y)$ آنتروپی توأم^{۳۸} متغیرهای تصادفی X و Y است که به صورت رابطه (۴) تعریف می‌شود. همچنین آنتروپی‌های شرطی^{۳۹} $H(X | Y)$ و $H(Y | X)$ به ترتیب با روابط (۵) و (۶) تعریف می‌شوند:

$$H(X, Y) = - \sum_{x,y} p(x, y) \log(p(x, y)) \quad (4)$$

$$H(X | Y) = - \sum_{x,y} p(x, y) \log(p(x | y)) \quad (5)$$

$$H(Y | X) = - \sum_{x,y} p(x, y) \log(p(y | x)) \quad (6)$$

در روابط (۵) و (۶) $p(x | y)$ و $p(y | x)$ به ترتیب توابع چگالی احتمال شرطی^{۴۰} X به شرط Y و Y به شرط X هستند. $MI(X, Y | Z)$ اطلاعات متقابل شرطی^{۴۱} (یا اطلاعات متقابل جزئی^{۴۲}) متغیرهای تصادفی X و Y مشروط به مشاهده متغیر تصادفی Z است و توسط هر یک از روابط معادل (۷) یا (۸) محاسبه می‌شود. در شکل (۱) مفهوم اطلاعات متقابل شرطی به صورت نمادین نمایش داده شده است.

³⁷Joint Probability Density Function

⁴¹Conditional Mutual Information

³⁸Joint Entropy

⁴²Partial Mutual Information

³⁹Conditional Entropy

⁴⁰Conditional Probability Density Function

عنوان اندرکنش لحظه‌ای (II) برای کمی کردن ارتباطات لحظه‌ای مغزی ارائه می‌کنیم. II با تلفیق مفهوم علیت لحظه‌ای گرنجر^{۴۰} (GIC) و اطلاعات متقابل شرطی (توصیف شده در بخش ۱-۲) روابط (۷) و (۸) تعریف می‌شود. اگرچه GIC و مفهوم علیت گرنجر GC را کلیو گرنجر همزمان مطرح کرده است [۳]، به GIC در مقایسه با GC بسیار کمتر توجه شده است. بر پایه GIC سیستم X در صورتی علت لحظه‌ای سیستم Y است که افزودن اطلاعات لحظه فعلی سیستم X به اطلاعات گذشته دو سیستم X و Y، بهبودی در تخمین وضعیت کنونی سیستم Y ایجاد کند. از آنجایی که علیت مطابق مفهوم علیت وینر (WC) به صورت شهودی معادل ارتباطات تأخیری است (مطابق بخش ۱)، بهتر است به جای عبارت "علیت لحظه‌ای" از عبارت "ارتباط لحظه‌ای" استفاده شود. اندرکنش لحظه‌ای (II) بین سری‌های زمانی دو متغیر تصادفی X و Y بر پایه مفهوم GIC با رابطه (۱۲) تعریف می‌شود:

$$II_{X,Y} = MI(X(t), Y(t) | \underline{X}_{t-1}^{d_X, \tau_X}, \underline{Y}_{t-1}^{d_Y, \tau_Y}) \quad (12)$$

در رابطه (۱۲) $\underline{X}_{t-1}^{d_X, \tau_X}$ و $\underline{Y}_{t-1}^{d_Y, \tau_Y}$ به ترتیب بردارهای وضعیت گذشته X و Y هستند که مشابه روابط (۱۰) و (۱۱) بودن عبارات لحظه‌ای (t) و Y(t) تعریف می‌شوند. ولی بین سری‌های Zمانی دهد که با فرض دانستن مشاهدات گذشته متغیرهای تصادفی X و Y، با مشاهده وضعیت کنونی X یا Y چه میزان اطلاعات اضافی نسبت به وضعیت کنونی دیگری حاصل می‌شود. $II_{X,Y}$ می‌تواند برای ارتباطات لحظه‌ای خطی و غیرخطی بین X و Y را اندازه‌گیری کند. ولذا $II_{X,Y} = II_{Y,X}$ و این معیاری مترانه و بدون جهت است و از این رو می‌توان آن را به عنوان یک معیار تخمین ارتباطات کارکردی نیز در نظر گرفت.

نشان داده شده است که استفاده از روش‌های متداول تخمین ارتباطات مؤثر مغزی که اثر ارتباطات لحظه‌ای بین داده‌های

مغزی را به طور جداگانه و صریح در نظر نمی‌گیرند، می‌تواند منجر به تخمین نادرست شبکه ارتباطات مؤثر مغزی شود [۸-۱۱]. در واقع ممکن است ارتباط علی (تأخیری) ناموجودی معنی دار تشخیص داده شود و یا ارتباط علی (تأخیری) موجودی معنی دار تشخیص داده شود. TE_{XY} همانگونه که در بخش (۱) گفته شد؛ تقریباً در همه تکنیک‌های اخذ داده‌های مغزی، ارتباطات لحظه‌ای قوی بین داده‌های اخذ شده از نواحی مجزای مغزی دیده می‌شود که می‌تواند بررسی ارتباطات علی (تأخیری) را با خطا مواجه کند [۸-۱۱-۱۴]. از این رو در این بخش سعی می‌شود تا اثر نامطلوب ارتباطات لحظه‌ای در تخمین ارتباطات علی (تأخیری) با معیار آنتروپی انتقال (TE) کاهش داده شود. برای این منظور ابتدا معیاری با

تصادفی X و Y هستند. τ_X و τ_Y به ترتیب تأخیر جانشانی^{۴۳} X و Y، و d_X و d_Y نیز به ترتیب، بعد جانشانی^{۴۴} X و Y هستند. در عمل معمولاً از الگوریتم جانشانی تأخیر تیکنر^{۴۵} برای نگاشتن سری‌های زمانی اسکالر به مسیرهایی^{۴۶} در فضای حالت با ابعاد محتمل بزرگ استفاده می‌شود [۲۰].

معنی دار بودن مقدار تخمینی TE_{XY} با استفاده از تولید تعداد مناسبی از داده‌های جانشین نوع اول^{۴۷} تعیین می‌شود [۲۱]. هر داده جانشین نوع اول در سه مرحله تولید می‌شود. (۱) از هر یک از سری‌های زمانی FFT^{۴۸} گرفته می‌شود. (۲) اندازه نمونه‌های فرکانسی عیناً حفظ می‌شود ولی به فاز آنها، مقادیر تصادفی با توزیع یکنواخت در بازه $(-\pi, \pi)$ اضافه می‌شود. این کار با حفظ تقارن فاز برای سیگنال‌های حقیقی انجام می‌شود. (۳) از نمونه‌های فرکانسی IFFT^{۴۹} گرفته می‌شود تا سری‌های زمانی مربوط به داده‌های جانشین نوع اول تولید شوند. به این ترتیب، طیف قدرت و در نتیجه تابع خودبستگی هر سری زمانی از هر داده جانشین نوع اول نسبت به داده اصلی بدون تغییر باقی می‌ماند؛ در حالی که تمام ارتباطات خطی و غیرخطی بین سری‌های زمانی هر داده جانشین نوع اول به طور آماری از می‌روند. پس از تولید داده‌های جانشین نوع اول، مقدار TE_{XY} برای هر داده جانشین، تخمین زده می‌شود تا توزیع TE_{XY} برای داده‌های جانشین حاصل شود. در صورتی که مقدار تخمینی TE_{XY} برای داده‌های اصلی نسبت به توزیع TE_{XY} جانشین با p-value تعیین شده متفاوت باشد، مقدار تخمینی TE_{XY} تحت p-value انتخابی معنی دار در نظر گرفته می‌شود. در این حالت می‌توان نتیجه گرفت که ارتباطات علی (تأخیری) معنی داری از X به Y وجود دارد.

۲-۲- ارائه الگوریتم پیشنهادی

همانگونه که در بخش (۱) گفته شد؛ تقریباً در همه تکنیک‌های اخذ داده‌های مغزی، ارتباطات لحظه‌ای قوی بین داده‌های اخذ شده از نواحی مجزای مغزی دیده می‌شود که می‌تواند بررسی ارتباطات علی (تأخیری) را با خطا مواجه کند [۱۱-۱۴]. از این رو در این بخش سعی می‌شود تا اثر نامطلوب ارتباطات لحظه‌ای در تخمین ارتباطات علی (تأخیری) با معیار آنتروپی انتقال (TE) کاهش داده شود. برای این منظور ابتدا معیاری با

⁴³Embedding Delay

⁴⁷Type I Surrogate Data

⁴⁴Embedding Dimension

⁴⁸Fast Fourier Transform

⁴⁵Takens Delay Embedding Algorithm

⁴⁹Inverse Fast Fourier Transform

⁴⁶Trajectories

⁵⁰Granger Instantaneous Causality

۳- ساختار شبیه‌سازی و داده‌های EEG مورد بررسی

در این بخش، ابتدا ساختار مدل‌های شبیه‌سازی استفاده شده در این مقاله معرفی می‌شود. در ادامه، ساختار داده‌های EEG که برای ارزیابی معیارها و روش ارائه شده در بخش (۲-۲) به کار می‌روند، معرفی می‌شود.

۳-۱- ساختار شبیه‌سازی

در این بخش، از سه شبیه‌سازی ساده برای ارزیابی عملکرد معیارها و الگوریتم پیشنهادی جهت تخمین ارتباطات لحظه‌ای و علی (تأخیری) استفاده می‌شود. شایان ذکر است، هدف از شبیه‌سازی‌های اجرا شده در این بخش، مدل سازی داده‌های واقعی مغزی EEG/MEG نیست زیرا مدل کردن سیگنال‌های واقعی مغزی رویکردی چالش‌برانگیز است که نیاز به مدل‌های پیچیده‌ای نظری مدل‌های توده عصبی^۵ [۲۲] دارد. با وجود این هدف از شبیه‌سازی‌های مورد بررسی، نشان دادن قابلیت استفاده از معیارها و الگوریتم پیشنهادی بخش (۲-۲) در تخمین صحیح ارتباطات لحظه‌ای و علی (تأخیری) مدل‌های ساده دو متغیره با سه ساختار متفاوت است.

هر یک از سه مدل شبیه‌سازی مورد بررسی (روابط (۱۴)، (۱۵) و (۱۶)) از دو سری زمانی $X(t)$ و $Y(t)$ تشکیل می‌شوند که بین $X(t)$ و $Y(t)$ ارتباطی لحظه‌ای با ضریب α وجود دارد و $\epsilon_X(t)$ و $\epsilon_Y(t)$ نویزهای راهاندازی کننده^۶ تصادفی گوسی سفید (i.i.d.) با میانگین صفر و واریانس یک هستند. در اولین مدل شبیه‌سازی مطابق رابطه (۱۴)، هیچ ارتباط علی (تأخیری) بین X و Y وجود ندارد و تنها ارتباطی لحظه‌ای و خطی با ضریب α موجود است:

$$\begin{cases} X(t) = 0.5X(t-1) + \epsilon_X(t) \\ Y(t) = \alpha \cdot X(t) + 0.2Y(t-1) + 0.3\epsilon_Y(t) \end{cases} \quad (14)$$

در دومین مدل شبیه‌سازی- که با رابطه (۱۵) تعریف می‌شود- هیچ ارتباط علی (تأخیری) بین X و Y وجود ندارد و تنها ارتباطی لحظه‌ای و غیر خطی با ضریب α بین آن دو موجود است:

$$\begin{cases} X(t) = 0.5X(t-1) + \epsilon_X(t) \\ Y(t) = \alpha \cdot (X(t))^2 + 0.2Y(t-1) + 0.3\epsilon_Y(t) \end{cases} \quad (15)$$

صورتی می‌توان به صحت عملکرد آن مطمئن بود که ارتباط لحظه‌ای بین X و Y معنی دار نباشد. در واقع به نظر می‌رسد در صورتی که مقدار تخمینی TE_{XY} معنی دار نباشد، ارتباط علی (تأخیری) تخمینی با TE_{XY} قابل اطمینان است و در غیر این صورت باید از معیار دیگری به جای TE_{XY} استفاده کرد. برای کاهش نتایج نادرست TE در حضور ارتباطات لحظه‌ای معنی دار، معیار دیگری را با عنوان آنتروپی انتقال اصلاح شده (MTE) مطابق رابطه (۱۳) تعریف می‌کنیم تا به جای TE در این حالت استفاده شود:

$$MTE_{XY} = MI(Y(t+\tau), \underline{X}_t^{d_{X,\tau_X}} | \underline{Y}_t^{d_{Y,\tau_Y}}, X(t+\tau)) \quad (13)$$

در رابطه (۱۳) و (۱۱) تعریف می‌شوند. MTE_{XY} نشان می‌دهد که با فرض دانستن مشاهدات گذشته و حال متغیر تصادفی Y ($\underline{Y}_t^{d_{Y,\tau_Y}}$) و آینده متغیر تصادفی X ($t > 0$; $\tau > 0$; $X(t+\tau)$)، با مشاهده گذشته و حال متغیر تصادفی X ($\underline{X}_t^{d_{X,\tau_X}}$) چه میزان به اطلاعات موجود درباره آینده متغیر تصادفی Y ($t > 0$; $\tau > 0$; $Y(t+\tau)$) افزوده می‌شود. بنابر آنچه در این بخش گفته شد، الگوریتم زیر برای تخمین ارتباطات علی (تأخیری) به کار می‌رود:

۱. مقدار $II_{X,Y}$ تخمین زده می‌شود تا مشخص شود که آیا ارتباط لحظه‌ای معنی داری بین X و Y وجود دارد یا خیر.
 ۲. در صورتی که مقدار $II_{X,Y}$ معنی دار نباشد می‌توان از TE_{XY} برای تخمین ارتباطات علی (تأخیری) از X به Y استفاده کرد.
 ۳. در صورتی که مقدار $II_{X,Y}$ معنی دار باشد باید از MTE_{XY} برای تخمین ارتباطات علی (تأخیری) از X به Y استفاده کرد.
- لازم است ذکر شود که معنی دار بودن هر یک از معیارهای تخمینی TE_{XY} و $II_{X,Y}$ (یا MTE_{XY}) با تولید تعداد مناسبی از داده‌های جانشین نوع اول و استفاده از آنها مطابق آنچه در بخش (۱-۲) گفته شد، انجام می‌شود.

.Oz, CP4, CP7, TP8, P3, P7, P4, P8, O1, Oz و VEOG (EOG) همچنین سیگنال‌های الکترواکولوگرام^{۵۶} به صورت دوقطبی ثبت شدن. سیگنال VEOG به قرار داده شده بودند، ثبت شد تا سیگنال‌های الکتریکی ناشی از حرکات عمودی چشم ثبت شوند. سیگنال HEOG نیز به صورت دوقطبی از طریق الکترود هایی که در گوشه خارجی دو چشم قرار داده شده بودند، ثبت شد تا سیگنال‌های الکتریکی ناشی از حرکات افقی چشم ثبت شوند. امپدانس الکتریکی بین هر الکترود EEG و سطح سر با استفاده از ژل مناسب کوچکتر از ۵ کیلواهرتز نگه داشته شد. همه سیگنال‌های ثبت شده به طور سخت‌افزاری تقویت شده؛ با استفاده از فیلتر میان گذر با باند عبور ۱/۳۰-۰ هرتز فیلتر شدن و سپس از آنها با آهنگ^۱ ۱ کیلوهرتز نمونه برداری شد. در ادامه سیگنال‌های نمونه برداری شده، به صورت سخت‌افزاری با قدرت تفکیک^۶ ۱۶ بیت رقمه‌ی و برای انجام عملیات بعدی، ذخیره شدند.

سیگنال‌های EEG پس از اخذ با یک فیلتر بالاگذر با فرکانس قطع ۱ هرتز فیلتر شدن تا مؤلفه‌های فرکانس پائین آنها حذف شوند. به این ترتیب روندهایی^{۶۰} که بر اثر حرکات تنفسی و سایر حرکات بدنی ایجاد شده بودند، حذف شدند. همچنین بخش‌هایی از سیگنال‌های EEG که در آنها یک یا چند الکترود ناپایدار شده و دامنه‌های نامتعارف بزرگی داشتند به صورت چشمی شناسایی و حذف شدند. سپس آرتفیکت‌های ناشی از حرکات چشمی، EMG^{۵۹} و ECG^{۶۰} با استفاده از نرم افزار EEGLAB [۲۳، ۲۴] حذف شدند. در واقع برای حذف آرتفیکت‌های مذکور از تحلیل مؤلفه‌های مستقل^{۶۱} (ICA) به روش اینفوگرمس بسط یافته^{۶۲} [۲۵] استفاده شد و مؤلفه‌های مستقلی که همبستگی زیادی با سیگنال VEOG یا HEOG داشتند، نگاشت مکانی آنها در ناحیه جلوی سر و نزدیک به چشمها واقع شده بود و مشخصات زمانی و فرکانسی مشابه حرکات چشمی داشتند به عنوان آرتفیکت‌های چشمی حذف شدند. همچنین مؤلفه‌های مستقلی که فعالیت زمانی، طیف فرکانسی و نگاشت مکانی آنها مشابه مؤلفه‌های ناشی از EMG و ECG بود، حذف شدند. درنهایت آهنگ نمونه برداری سیگنال‌های EEG به فرکانس ۱۰۰ هرتز کاهش داده شد تا بدون هیچ‌گونه از دست دادن اطلاعات فرکانسی، از حجم داده‌های

در سومین مدل شبیه‌سازی - که با رابطه (۱۶) تعریف می‌شود - ارتباطی علی (تأخیری) از X به Y وجود دارد و یک ارتباط لحظه‌ای خطی با ضریب α نیز بین X و Y موجود است:

$$\begin{cases} X(t) = 0.5X(t-1) + \varepsilon_X(t) \\ Y(t) = \alpha \cdot X(t) - 0.4X(t-1) + 0.2Y(t-1) + 0.3\varepsilon_Y(t) \end{cases} \quad (16)$$

در هر سه مدل شبیه‌سازی (روابط (۱۴)، (۱۵) و (۱۶)) سریهای زمانی X(t) و Y(t) با طول ۱۰۰۰ نمونه شبیه‌سازی می‌شوند. برای ارزیابی معنی داری معیارها، ۲۵ داده جانشین نوع اول مطابق بخش (۱-۲) تولید و استفاده می‌شوند. مقدار p-value برای ارزیابی معنی داری ۰/۰۵٪ انتخاب می‌شود و هر شبیه‌سازی ۲۰ بار تکرار می‌شود تا ۲۰ تحقیق^{۵۳} مختلف از هر مدل حاصل شود. همچنین ضرایب مدل‌های هر سه مدل شبیه‌سازی به صورت دلخواه و به نحوی تعیین شده‌اند تا مدل‌ها پایدار باشند. با توجه به این که در هر سه مدل شبیه‌سازی برای سادگی تنها از تأخیرهای یک نمونه‌ای استفاده شده است، برای محاسبه هر یک از معیارهای تخمینی (TE_{XY}, II_{X,Y} و یا MTE_{XY}) تأخیرهای جانشانی X و Y را برابر یک انتخاب می‌کنیم ($\tau_X = \tau_Y = 1$) و ابعاد جانشانی X و Y را نیز برابر یک تعیین می‌کنیم ($d_X = d_Y = 1$).

۲-۳- ساختار داده‌های EEG

۶ فرد سالم (همگی راست دست و مرد و ۲۴ تا ۳۹ سال) بدون هیچ‌گونه سابقه اختلالات مغزی و عصبی برای اخذ سیگنال‌های EEG انتخاب شدند. این افراد روی یک صندلی راحت در یک اتاق کم نور، دارای پوشش تضعیف صوتی و دارای حفاظ مقاوم به نفوذ امواج مغناطیسی نشانده شدند. از آنها درخواست شد تا چشمها یشان را بینندن، با آرامش استراحت کنند ولی بیدار بمانند و تا حد ممکن حرکات چشم و بدن خود را کمینه کنند. داده‌های EEG هر فرد در مدت ۱۰ دقیقه با استفاده از یک دستگاه نورواسکن^{۵۴} ۳۲ کاناله ثبت شدند. سیگنال‌های EEG با استفاده از ۳۰ الکترود تک قطبی Ag/AgCl^{۵۵} - که مطابق سیستم بین المللی توسعه یافته^{۵۶} ۱۰-۲۰ بر روی کلاهک الکترودی جاگذاری شده بودند - اخذ شدند. مرجع ثبت همه الکترودها، روی استخوان ماستوئید پشت گوش چپ در نظر گرفته شد. بنابراین سیگنال‌های EEG مطابق شکل (۲) از ۳۰ کانال استاندارد روی سطح سر اخذ شدند که عبارتند از: F8, F7, F4, F3, Fp2, Fp1, F7, F4, F3, FC3, FC4, CP3, T8, T7, Cz, C4, C3, FT8, FT7, FCz, Fz.

^{۵۳}Realizations^{۵۴}Neuroscan^{۵۵}Digital^{۵۶}Trends^{۵۶}Independent Component Analysis^{۶۲}Extended Infomax^{۵۵}Extended International 10-20 System^{۵۶}ElectroOculoGram^{۵۹}ElectroMyoGram^{۶۰}ElectroCardioGram

تحقیق‌ها ارتباط تأخیری نادرستی از X به Y نشان می‌دهد، MTE_{XY} همواره دقت بهتری در مقایسه با TE_{XY} داشته است و غالباً در همه تحقیق‌ها به درستی حکم به عدم وجود ارتباط تأخیری از X به Y می‌دهد.

زائد^{۶۳} کاسته شده؛ سرعت محاسبات آتی افزایش پابد.

۴- نتایج ارزیابی روش پیشنهادی

در این بخش، ابتدا نتایج عملکرد روش پیشنهادی و معیارهای ارائه شده در بخش (۲-۲) با شبیه‌سازی‌های بخش (۱-۳) EEG ارزیابی، و سپس الگوریتم پیشنهادی بر داده‌های واقعی بررسی می‌شود. در این مقاله از جعبه ابزاری^{۶۴} استفاده شد که کاله روتانی^{۶۵} آنرا برای تخمین اطلاعات متقابل شرطی ارائه کرده است [۲۶]. این جعبه ابزار از رویکرد KNN^{۶۶} برای تخمین اطلاعات متقابل شرطی بهره می‌برد [۲۷]. در این مقاله، مقدار K مطابق پیش فرض جعبه ابزار برابر یک انتخاب شد. به علاوه، برای بررسی معنی‌دار بودن هر یک از معیارهای تخمینی $\Pi_{X,Y}$ و $\Pi_{Y,X}$ (MTE_{XY} و TE_{XY}) از داده‌های جانشین نوع اول- که در بخش (۱-۲) توصیف شدند- استفاده شد. با توجه به این که در غالب تحقیقات و پژوهش‌های گذشته در حوزه علوم اعصاب، برای تخمین TE_{XY} با رابطه (۹) مقدار شیفت زمانی آینده τ برابر یک انتخاب شده است، ما نیز در این تحقیق برای تخمین TE_{XY} با رابطه (۹) و MTE_{XY} با رابطه (۱۳) از $\tau = 1$ استفاده کردیم.

۴-۱- نتایج شبیه‌سازی‌ها

برای اولین مدل شبیه‌سازی (رابطه (۱۴)) -همانگونه که در جدول (۱) مشاهده می‌شود- در غیاب ارتباط لحظه‌ای ($\alpha=0$) عدم وجود ارتباط لحظه‌ای بین X و Y با استفاده از $\Pi_{X,Y}$ در تمام تحقق‌ها به درستی نشان داده می‌شود و TE_{XY} در ۹۵٪ تحقق‌ها به درستی عدم وجود ارتباط تأخیری از X به Y را نشان می‌دهد. با افزایش قدرت ارتباط لحظه‌ای و برای $\alpha=0.1$ در ۶۰٪ از تتحقق‌ها ارتباط لحظه‌ای بین X و Y با $\Pi_{X,Y}$ به درستی شناسایی می‌شود و TE_{XY} نیز در ۲۰٪ تتحقق‌ها به طور نادرست وجود ارتباطی تأخیری از X به Y را نشان می‌دهد، در حالی که MTE_{XY} به درستی هیچگاه ارتباط تأخیری از X به Y را نشان نمی‌دهد. برای ارتباطات لحظه‌ای قوی تر ($\alpha \geq 0.2$) با استفاده از $\Pi_{X,Y}$ در تمام تتحقق‌ها ارتباط لحظه‌ای بین X و Y به درستی تشخیص داده می‌شود و اگرچه TE_{XY} همواره در درصدی از

جدول (۲)- ارزیابی نتایج دومین مدل شبیه‌سازی (رابطه (۱۵))

شاخص	عملکرد	درصد تحقق هایی که $H_{X,Y}$ معنی دار است	درصد تحقق هایی که $T_{E_{X,Y}}$ معنی دار است	درصد تحقق هایی که $MTE_{X,Y}$ معنی دار است
۰	۰	۰	۰	۰
۰/۱	۹۰	۰	۰	۰
۰/۲	۱۰۰	۰	۰	۰
۰/۳	۱۰۰	۱۰	۰	۰
۰/۴	۱۰۰	۲۰	۰	۰
۰/۵	۱۰۰	۱۰	۰	۰

برای دومین مدل شبیه سازی (رباطه ۱۵) - همانگونه که در جدول (۲) مشاهده می شود - در غیاب ارتباط لحظه‌ای ($\alpha=0$) عدم وجود ارتباط لحظه‌ای بین X و Y با استفاده از $II_{X,Y}$ در تمام تحقیق‌ها به درستی نشان داده می شود و TE_{XY} در همه تحقیق‌ها به درستی عدم وجود ارتباط تأخیری از X به Y را نشان می دهد. با قوی‌تر شدن ارتباط لحظه‌ای (افزایش α) $II_{X,Y}$ به درستی وجود ارتباط لحظه‌ای بین X و Y را شناسایی می کند، در حالی که TE_{XY} با افزایش α ($\alpha \geq 0/3$) در درصدی از تحقیق‌ها به اشتباه وجود ارتباطی تأخیری از X به Y را نشان می دهد. با وجود این، MTEXY سیار دقیق عمل کرده؛ هیچگاه ارتباط تأخیری از X به

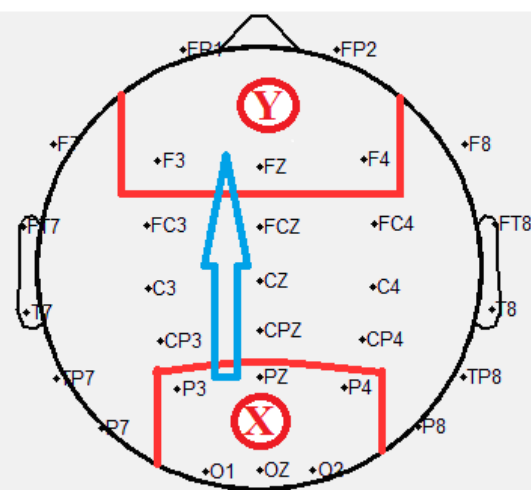
⁶³Redundant Data

⁶⁴Toolbox

65 Kalle Ruitanen

⁶⁶K-Nearest Neighbor

P4 یا O1 است [۲۸]. بنابراین از سیگنال‌های کانال‌های X، Pz و O1 هر فرد میانگین‌گیری شد و سیگنال حاصل، نامیده شد تا نشان دهنده فعالیت ناحیه منبعی مغز^۷ در حالت استراحت مغزی با چشمان بسته باشد. همچنین از سیگنال‌های کانال‌های F3، Fz، F4 و FP2 هر فرد میانگین‌گیری شد و سیگنال حاصل، Y نامیده شد تا نشان دهنده فعالیت ناحیه منعده مغزی^۷ در حالت استراحت مغزی با چشمان بسته باشد. انتشار فعالیت مغزی از X به Y در شکل (۲) ترسیم شده است.



شکل (۲)- چینش کانال‌های EEG و همچنین انتشار فعالیت مغزی از ناحیه خلفی X به ناحیه قدامی Y در حالت استراحت مغزی با چشمان بسته

با توجه به این که در اغلب مطالعات مربوط به داده‌های EEG/MEG با معیار TE تأخیرهای جانشانی برابر یک در نظر گرفته می‌شوند، در این مقاله نیز برای داده‌های EEG، $\tau_X = \tau_Y = 1$ در نظر گرفته شد. همچنین ابعاد جانشانی برای X و Y برابر ۵ انتخاب شد. هر فرد، با استفاده از رابطه (۱۲) ارتباط لحظه‌ای بین X و Y با $\text{II}_{X,Y}$ تخمین زده شد. معنی دار بودن $\text{II}_{X,Y}$ با تولید ۵۰ داده جانشین نوع اول و با انتخاب افراد (فرد شماره ۴) برای بقیه ۵ نفر مقدار $\text{II}_{X,Y}$ معنی دار تعیین شد که نشان دهنده وجود ارتباط لحظه‌ای معنی داری بین کانال‌های EEG نواحی خلفی و قدامی ایشان بود. بنابراین طبق الگوریتم پیشنهادی در بخش (۲-۲) برای فرد شماره ۴ از TE_{XY} (رابطه ۹) و برای ۵ نفر دیگر از MTE_{XY} (رابطه ۱۳) استفاده شد تا

برای سومین مدل شبیه‌سازی (رابطه ۱۶)- همانگونه که در جدول (۳) مشاهده می‌شود- در غیاب ارتباط لحظه‌ای ($\alpha=0$) عدم وجود ارتباط لحظه‌ای بین X و Y با استفاده از $\text{II}_{X,Y}$ در تمام تحقیقات به درستی نشان داده می‌شود و TE_{XY} در همه تحقیقات به درستی عدم وجود ارتباط تأخیری از X به Y را نشان می‌دهد. با افزایش قدرت ارتباط لحظه‌ای و برای $\alpha=0/1$ ، $\text{II}_{X,Y}$ در٪۳۰ تحقیقات وجود ارتباط لحظه‌ای بین X و Y را تشخیص می‌دهد و TE_{XY} نیز همچنان در همه تحقیقات به درستی وجود ارتباط تأخیری از X به Y را نشان می‌دهد. با افزایش قدرت ارتباط لحظه‌ای برای $\alpha=0/2$ و $\text{II}_{X,Y} \alpha=0/3$ و TE_{XY} به ترتیب ارتباط لحظه‌ای و تأخیری را کاملاً صحیح تشخیص می‌دهند. با افزایش بیشتر قدرت ارتباط لحظه‌ای، برای $\text{II}_{X,Y} \alpha \geq 0/4$ همواره وجود ارتباط لحظه‌ای بین X و Y را به درستی تشخیص می‌دهد؛ ولی توان TE_{XY} برای تشخیص ارتباط تأخیری از X به Y شدیداً تضعیف می‌شود. با وجود این MTE_{XY} بسیار دقیق عمل کرده و همواره وجود ارتباطی تأخیری از X به Y را شناسایی می‌کند.

جدول (۳)- ارزیابی نتایج سومین مدل شبیه‌سازی (رابطه ۱۶)

شاخص عملکرد α	درصد تحقیقاتی که $\text{II}_{X,Y}$ معنی دار است	درصد تحقیقاتی که TE _{XY} معنی دار است	درصد تحقیقاتی که $\text{II}_{X,Y}$ معنی دار است	درصد تحقیقاتی که TE _{XY} معنی دار است
۰	۱۰۰	۰	۰	۰
۰/۱	۱۰۰	۱۰۰	۳۰	۰/۱
۰/۲	۱۰۰	۱۰۰	۱۰۰	۰/۲
۰/۳	۱۰۰	۱۰۰	۱۰۰	۰/۳
۰/۴	۱۰۰	۷۰	۱۰۰	۰/۴
۰/۵	۱۰۰	۱۰	۱۰۰	۰/۵
۱	۱۰۰	۱۰	۱۰۰	۱

۴-۲- نتایج داده‌های EEG

بیشتر تحقیقات و بررسی‌های گذشته در زمینه ارتباطات مغزی حالت استراحت مغزی با چشمان بسته با سیگنال‌های EEG وجود جریان اطلاعات^{۷۷} و انتشار فعالیت غالی از نواحی خلفی^{۶۶} مغز به لوب قدامی^{۶۹} را نشان داده‌اند [۲۸-۸,۹,۳۳]. نشان داده شده است که منبع این فعالیت مغزی در بیشتر افراد، نزدیک الکترودهای P3، P4 یا Pz و در برخی افراد نزدیک الکترودهای

⁶⁷Information Flow

⁶⁸Posterior regions

⁶⁹Frontal Lobe

⁷⁰Brain Source Region

⁷¹Brain Destination Region

جدول (۴)- مقادیر پارامتر معنی داری معیارهای MTE_{XY} و TE_{XY} برای داده های EEG

$SP_{MTE_{XY}}$	$SP_{TE_{XY}}$	
۳/۲۵۲۸	۲/۷۴۱	فرد شماره ۱
۲۲/۱۸۰۸	۸/۶۹۷	فرد شماره ۲
۱۹/۳۸۴۷	۱۲/۸۱۹۵	فرد شماره ۳
۷/۶۸۹۹	۲/۱۱۸۱	فرد شماره ۵
۱۶/۵۳۴۹	۸/۴۴۹۸	فرد شماره ۶

۵- جمع بندی و بحث

در این مقاله، برای تخمین ارتباطات لحظه ای بین داده های مغزی، معیاری با عنوان اندرکنش لحظه ای (II) ارائه شد. در صورتی که مقدار تخمینی II بین دو سری زمانی معنی دار باشد، معیار آنتروپی انتقال (TE) ممکن است ارتباط علی (تأخیری) بین آن دو را در حضور ارتباطات لحظه ای معنی دار موجود به درستی تخمین نزند. در نتیجه برای این حالت معیار دیگری تحت عنوان آنتروپی انتقال اصلاح شده (MTE) ارائه شد تا برای تخمین ارتباط علی (تأخیری) به جای TE استفاده شود. ارزیابی معیارهای پیشنهادی ما بر مدل های شبیه سازی شده ساده حاکی از عملکرد دقیق II در تخمین ارتباطات لحظه ای و عملکرد بهتر MTE در مقایسه با TE در حضور ارتباطات لحظه ای معنی دار بود. همچنین نتایج معیارهای پیشنهادی بر داده های EEG نشان می دهد که II ارتباطات لحظه ای معنی داری را بین کانال های ناحیه خلفی و کانال های ناحیه قدامی مغز تشخیص می دهد. در حضور این ارتباطات لحظه ای معنی دار، MTE در مقایسه با TE جریان اطلاعات از کانال های ناحیه خلفی به کانال های ناحیه قدامی را به طور معنی دارتری نشان می دهد که این مطلب تطبیق خوبی با نتایج تحقیقات گذشته در این حوزه دارد [۹۸، ۲۸-۳۳].

در این مقاله از سه مدل شبیه سازی اولیه با دینامیک های ساده برای ارزیابی معیارها و روش پیشنهادی استفاده شد. با این حال ارزیابی جامع روش پیشنهادی با مدل های پیچیده تر و محدوده وسیعی از تغییرات پارامترها باید انجام شود تا توانایی ها و محدودیت های احتمالی الگوریتم پیشنهادی بهتر آشکار شوند. همچنین استفاده از مدل های توده عصبی^{۷۲} مناسب جهت شبیه سازی دقیق تر سیگنال های EEG/MEG مانند آنچه در منبع [۲۲] انجام شده است، می تواند برای ارزیابی روش

وجود ارتباطات علی (تأخیری) از X به Y بررسی شود. معنی دار بودن مقادیر تخمینی TE_{XY} و MTE_{XY} با تولید ۵۰ داده جانشین نوع اول و با انتخاب $p-value = 0.05$ مطابق بخش (۲) بررسی شد و در اینجا مقادیر تخمینی TE_{XY} و MTE_{XY} برای افراد معنی دار تشخیص داده شدند. بعلاوه باید بررسی می شد که آیا MTE_{XY} نسبت به TE_{XY} در حضور ارتباط لحظه ای معنی دار، مطابق انتظار پاسخ بهتری دارد یا خیر. برای این منظور میزان معنی داری مقادیر تخمینی TE_{XY} و MTE_{XY} از طریق مقایسه پارامتر معنی داری^{۷۳} (SP) آن دو- که مطابق روابط (۱۷) و (۱۸) تعریف می کنیم- با یکدیگر مقایسه شدند.

$$SP_{TE_{XY}} = \frac{TE_{XY} - \text{Mean}(TE_{XY}^{\text{Surrogate}})}{\text{STD}(TE_{XY}^{\text{Surrogate}})} \quad (17)$$

$$SP_{MTE_{XY}} = \frac{MTE_{XY} - \text{Mean}(MTE_{XY}^{\text{Surrogate}})}{\text{STD}(MTE_{XY}^{\text{Surrogate}})} \quad (18)$$

در روابط (۱۷) و (۱۸) Mean نشان دهنده میانگین و STD بیانگر انحراف معیار است. همچنین $TE_{XY}^{\text{Surrogate}}$ و $MTE_{XY}^{\text{Surrogate}}$ به ترتیب، مجموعه مقادیر تخمینی TE_{XY} و MTE_{XY} برای داده های جانشین نوع اول تولید شده هستند. هر چه پارامتر معنی داری بزرگتر باشد نشان دهنده فاصله بیشتر مقدار تخمینی معیار برای داده های اصلی از توزیع داده های جانشین نوع اول و در نتیجه معنی دارتر بودن مقدار تخمینی معیار است. در اینجا انتظار داشتیم که در حضور ارتباط لحظه ای معنی دار بین $SP_{MTE_{XY}} > SP_{TE_{XY}}$ ، ناحیه خلفی (X) و ناحیه قدامی (Y)، باشد یعنی MTE_{XY} مقادیر معنی دارتری در مقایسه با TE_{XY} باشد. همانگونه که در جدول (۴) دیده می شود، برای هر ۵ فردی که ارتباط لحظه ای بین X و Y معنی دار تشخیص داده شده است، $SP_{MTE_{XY}} > SP_{TE_{XY}}$ و لذا مطابق انتظار MTE_{XY} مقادیر معنی دارتری در مقایسه با TE_{XY} داده است. با توجه به این که MTE_{XY} در حضور ارتباطات لحظه ای، ارتباط علی (تأخیری) مورد انتظار از نواحی خلفی به نواحی قدامی مغز را در حالت استراحت مغزی با چشممان بسته (مطابق [۳۳-۲۸، ۹۸]) معنی دارتر از TE_{XY} تخمین زده است، می توان گفت در مقایسه با TE_{XY} عملکرد بهتری دارد.

⁷²Significancy Parameter

⁷³Neural Mass Models

نمونه‌های زمانی بیشتری احتیاج دارند تا دقت پاسخ دهی آنها در سطح معینی حفظ شود. در نتیجه چنین رویکردهایی برای معیارهای ارائه شده در این مقاله و به ویژه تعمیم چند متغیره آنها KNN سودمند نیستند. استفاده از تخمینگرهای مبتنی بر رویکرد [۲۷,۳۴] عملکرد بسیار مناسب‌تری از این حیث دارد و برای داشتن تخمین‌های قابل اعتماد به تعداد نمونه زمانی بسیار کمتری نیازمندند. با وجود این، همچنان نیاز به توسعه تخمینگرهای مناسبتر برای تخمین اطلاعات متقابل شرطی در ابعاد زیاد و تعداد نمونه‌های محدود که بدون بایاس بوده و واریانس تخمین آنها کمینه باشد، به شدت احساس می‌شود.

نشان داده شده است که معیارهای دومتغیره تخمین ارتباطات مغزی نمی‌توانند ارتباطات مستقیم و غیرمستقیم را به خوبی از یکدیگر تشخیص دهند [۲۸]. برای مثال، در صورتی که A علت B و B علت C باشد ممکن است معیارهای دومتغیره تخمین ارتباطات مؤثر مغزی ارتباطی علی از A به C شناسایی کنند، در حالی که این ارتباط غیرمستقیمی است که به وسیله متغیر واسط B ایجاد می‌شود و تنها ناشی از درنظر نگرفتن همزمان هر سه متغیر، A، B و C است. در نتیجه، طراحی معیارهای چندمتغیره تخمین ارتباطات مغزی که برای تخمین ارتباطات بین هر دو متغیر، همه متغیرهای موجود را همزمان در نظر می‌گیرند؛ بسیار حائز اهمیت است. فرض کنید در یک مجموعه داده، N متغیر در طول زمان اندازه‌گیری شده باشند $\{X_i(t); i=1, \dots, N\}$ برای تعمیم معیار TE از حالت دومتغیره به چندمتغیره، معیاری با عنوان آنتروپی انتقال چندمتغیره^{۷۳} (MVTE) [۳۵] و یا آنتروپی انتقال جزئی^{۷۴} (PTE) [۲۷] مطابق رابطه (۱۹) تعریف شده است تا ارتباط علی (تأخیری) مستقیم از X_m به X_n را اندازه‌گیری کند:

$$MVTE_{mn} = MVTE_{X_m X_n} = \quad (19)$$

$$MI(X_n(t+\tau), \underline{X}_t^m | \underline{X}_t^n, \underline{X}_t^{i-\{m,n\}})$$

در رابطه (۱۹) \underline{X}_t^m و \underline{X}_t^n به ترتیب بردارهای گذشته و حال X_m و X_n و همه متغیرها به جز X_m و X_n هستند. در واقع چندمتغیره کردن TE با مشروط کردن آن به گذشته و حال همه متغیرهای غیر از دو متغیر مورد بررسی X_m و X_n انجام می‌شود. با الهام کرftن از همین رویکرد، می‌توان معیار پیشنهادی اندرکنش لحظه‌ای (II) را نیز با مشروط کردن آن به

پیشنهادی بر سیگنال‌هایی با ویژگی‌ها و دینامیک‌های نزدیکتر به سیگنال‌های EEG/MEG مفید باشد. همچنین بررسی روش پیشنهادی بر داده‌های fMRI-که ارتباطات لحظه‌ای قوی بین آنها وجود دارد [۱۲,۱۴]- می‌تواند ارزشمند باشد.

مدلسازی ارتباطات لحظه‌ای در شبیه‌سازی‌های این مقاله (بخش ۱-۳)، با وارد کردن دقیق یکی از سری‌های زمانی در تعریف سری زمانی دیگر انجام شد که تنها یک رویکرد ساده اولیه است. با این حال می‌توان ارتباطات لحظه‌ای بین دو سری زمانی را به طرق دیگری نیز در نظر گرفت. برای مثال می‌توان از منابع پنهان مشترک^{۷۵} بین دو سری زمانی استفاده کرد که به دلیل عدم اندازه‌گیری، در معیار تخمین ارتباطات لحظه‌ای II داخل نشده و ارتباط لحظه‌ای معنی‌داری ایجاد می‌کنند. اثر مرجع مشترک فعال نیز که موجب بروز ارتباطات لحظه‌ای در داده‌های EEG/MEG و ECoG می‌شود مشابه وجود یک منبع پنهان مشترک عمل می‌کند [۱۶]. همچنین می‌توان مشابه اثر هادی حجمی (VC)- که برهم‌نگی لحظه‌ای فعالیت منابع مغزی را به الکترودهای ثبت کننده فعالیت مغزی (EEG، MEG و یا حتی ECoG) نگاشت می‌کند [۱۵]- این ارتباط لحظه‌ای را مدل کرد. به علاوه، می‌توان مشابه آنچه تا حدودی در مورد سیگنال‌های fMRI رخ می‌دهد [۱۳,۱۴]، با قدرت تفکیک زمانی (فرکانس نمونه‌برداری) کوچکتر از مقیاس زمانی ارتباطات تأخیری موجود، این اثر لحظه‌ای را ایجاد کرد.

از آنجایی که معیارهای ارائه شده در این مقاله همگی بر پایه تئوری اطلاعات تعریف شده‌اند، به هر دو گروه از ارتباطات خطی و غیرخطی حساس هستند. با وجود این با مشاهده نتایج آنها نمی‌توان ادعایی نسبت به خطی یا غیرخطی بودن ماهیت ارتباطات تخمینی مطرح کرد. ماهیت خطی و غیرخطی ارتباطات لحظه‌ای و علی (تأخیری) تخمین زده را می‌توان مانند آنچه در منبع [۲۱] برای تعیین ماهیت ارتباطات علی انجام شده است، با استفاده از داده‌های جانشین مناسب بررسی کرد.

یکی از چالش‌های موجود در زمینه معیارهای مبتنی بر تئوری اطلاعات و همچنین معیارهای ارائه شده در این مقاله، ارائه تخمینگرهای مناسب برای تخمین اطلاعات متقابل شرطی و یا آنتروپی شرطی در ابعاد زیاد و تعداد نمونه‌های زمانی محدود است. رویکردهای سنتی که بر پایه تخمین هیستوگرام‌های چندبعدی عمل می‌کنند، با افزایش بعد به طور نمایی به

⁷³Common Hidden Sources

⁷⁴Multivariate Transfer Entropy

⁷⁵Partial Transfer Entropy

- [4] Kaminski M., and Liang H., Causal influence: Advances in neurosignal analysis; Crit. Rev. Biomed. Eng., 2005; 33:347–430.
- [5] Marinazzo D., Liao W., Chen H. and Stramaglia S., Nonlinear connectivity by Granger causality; Neuroimage, 2011; 58(2):330-338.
- [6] Schreiber T., Measuring information transfer; Phys. Rev. Lett., 2000; 85:461– 464.
- [7] Faes L., Erla S. and Nollo G., Measuring Connectivity in Linear Multivariate Processes: Definitions, Interpretation, and Practical Analysis; Comput. Math. Methods Med., 2012; 2012:1-18.
- [8] Faes L., and Nollo G., Extended causal modeling to assess Partial Directed Coherence in multiple time series with significant instantaneous interactions; Biol.Cybern., 2010; 103:387–400.
- [9] Erlaa S., Faes L., Tranquillinic E., Orricoc D., and Nollo G., Multivariate autoregressive model with instantaneous effects to improve brain connectivity estimation; Int. J. Bioelectromagnetism, 2009; 11(2):74-79.
- [10] Hyvarinen A., Shimizu Sh., and Hoyer P. O., Causal modelling combining instantaneous and lagged effects: an identifiable model based on non-gaussianity; Proceedings of the 25'th International Conference on Machine Learning, Helsinki, Finland, 2008:424-431.
- [11] Hyvarinen A., Zhang K., Shimizu Sh., and Hoyer P. O., Estimation of a Structural Vector Autoregression Model Using Non-Gaussianity; J. Machine Learning Research, 2010; 11:1709-1731.
- [12] Pipa G., Vicente R., Gollo L. L., Mirasso C., and Fischer I., A mechanism for achieving zero-lag long-range synchronization of neural activity; BMC Neuroscience, 2009; 10(1):240.
- [13] Deshpande G., Sathian K. and Hu X., Assessing and compensating for zero-lag correlation effects in time-lagged granger causality analysis of fMRI; IEEE Trans. Biomed. Eng., 2010; 57(6):1446-1456.
- [14] Deshpande G., Santhanam P. and Hu X., Instantaneous and causal connectivity in resting state brain networks derived from functional MRI data; NeuroImage, 2011; 54:1043–1052.
- [15] Schoffelen J. M., and Gross J., Source connectivity analysis with MEG and MEG; Hum. Brain Mapp., 2009; 30:1857–1865.
- [16] Schiff S. J., Dangerous phase; Neuroinformatics, 2005; 3(4):315–318.
- [17] Gollo L. L., Mirasso C., and Villa A. E., Dynamic control for synchronization of separated cortical areas through thalamic relay; NeuroImage, 2010; 52(3):947-955.
- [18] Gollo L. L., Mirasso C., Atienza M., Crespo-Garcia M., and Cantero J. L., Theta band zero-lag long-range synchronization via hippocampal dynamical relaying; PLoS One. 2011; 6(3):e17756
- گذشته و حال همه متغیرهای غیر از دو متغیر مورد بررسی X_m و X_n مطابق رابطه (۲۰) به حالت چندمتغیره MVII تعیین داد:
- $$MVII_{m,n} = MVII_{X_m X_n} = MI(X_m(t), X_n(t) | \underline{X}_{t-1}^m, \underline{X}_{t-1}^n, \underline{X}_t^{i-\{m,n\}}) \quad (20)$$
- در رابطه (۲۰)، $\underline{X}_t^{i-\{m,n\}}$ و \underline{X}_{t-1}^n و \underline{X}_{t-1}^m به ترتیب بردارهای X_n و X_m گذشته و بردار گذشته و حال همه متغیرها جز X_m و X_n هستند. همچنین، می‌توان معیار پیشنهادی آنتروپی انتقال اصلاح شده (MTE) را با مشروط کردن آن به گذشته و حال همه متغیرهای غیر از دو متغیر مورد بررسی X_m و X_n (۲۱) و نیز مقادار آینده همه متغیرهای مذکور در شیفت $X_t^{i-\{m,n\}}$ مطابق رابطه (۲۱) به حالت چندمتغیره تعیین داد:
- $$MVMTE_{mn} = MVMTE_{X_m X_n} = MI(X_n(t+\tau), \underline{X}_t^m | \underline{X}_t^n, X_m(t+\tau), \underline{X}_t^{i-\{m,n\}}, X_{i-\{m,n\}}(t+\tau)) \quad (21)$$
- ارزیابی این روابط تعیین یافته به حالت چندمتغیره در قالب داده‌های شبیه‌سازی شده چندمتغیره و نیز داده‌های واقعی مغزی باید در آینده انجام شود تا قوت‌ها و ضعف‌های آنها مشخص و محدودیت‌ها و توانمندی‌های آنها آشکار شود.
- ### سپاسگزاری
- از دکتر حسین استکی، رئیس پژوهشکده علوم شناختی پژوهشگاه دانش‌های بنیادی (IPM) و دانشیار دانشگاه علوم پزشکی شهری بهشتی به خاطر استفاده از آزمایشگاه ایشان جهت اخذ سیگنال‌های EEG سپاسگزاریم. همچنین، لازم است مراتب اقدارانی خود را از دکتر آناهیتا خرمی از ICSS به خاطر نظرها و راهنمایی‌های ارزشمندانه برای اخذ سیگنال‌های EEG اعلام کنیم.
- ### ۶- مراجع
- [1] Jirsa V., and McIntosh A. R., Handbook of brain connectivity; Springer, 2007.
 - [2] Wiener N., The theory of prediction; Modern Mathematics for Engineers, ed. Beckenbach E. F., McGraw-Hill, New York, 1956.
 - [3] Granger C. W. J, Investigating causal relations by econometric models and cross-spectral methods; Econometrica, 1969; 37:424–438.

- wise versus multichannel estimate; *IEEE Trans. Biomed. Eng.*, 2004; 51:1501-1510.
- [29] Faes L., Porta A. and Nollo G., Testing frequency-domain causality in multivariate time series; *IEEE Trans. Biomed. Eng.*, 2010; 57(8):1897-1906.
- [30] Faes L., Nollo G. and Porta A., Information-based detection of nonlinear Granger causality in multivariate processes via a non uniform embedding technique; *Phys. Rev. E.*, 2011; 83(5):051112.
- [31] Kaminski M., Blinowska K. and Szelenberger W., Investigation of coherence structure and EEG activity propagation during sleep; *Acta Neurobiol. Exp.*, 1995; 55:213-219.
- [32] Kaminski M., Blinowska K. and Szelenberger W., Topographic analysis of coherence and propagation of EEG activity during sleep and wakefulness; *Electroencephalogr. Clin. Neurophysiol.*, 1997; 102:216-227.
- [33] Babiloni C., Binetti G., Cassarino A., Dal Forno G., Del Percio C., Ferreri F., Ferri R., Frisoni G., Galderisi S., Hirata K., Lanuzza B., Miniussi C., Mucci A., Nobili F., Rodriguez G., Luca Romani G. and Rossini P. M., Sources of cortical rhythms in adults during physiological aging: a multicentric EEG study; *Hum. Brain Mapp.*, 2006; 27:162-172.
- [34] Kraskov A., Stögbauer H. and Grassberger P., Estimating mutual information; *Phys. Rev. E*, 2004; 69(6): 066138.
- [35] Vakorin V. A., Krakovsk O. A., and McIntosh A. R., Confounding effects of indirect connections on causality estimation; *Neuroscience Methods*, 2009; 184:152-160.
- [19] Cover T. M. and Thomas J. M., *Elements of information theory*; Second edition, John Wiley & Sons, 2006.
- [20] Vicente R., Wibral M., Lindner M., and Pipa G., Transfer entropy—a model-free measure of effective connectivity for the neurosciences; *J. Comput. Neurosci.*, 2011; 30(1):45-67.
- [21] Jin S. H., Lin P., and Hallett M., Linear and nonlinear information flow based on time-delayed mutual information method and its application to corticomuscular interaction; *Clin. Neurophysiol.*, 2010; 121:392-401.
- [22] David O., Cosmelli D. and Friston K. J., Evaluation of different measures of functional connectivity using a neural mass model; *NeuroImage*, 2004; 21:659-673.
- [23] Delorme A. and Makeig S., EEGLAB: an open source toolbox for analysis of single trial EEG dynamics including independent component analysis; *J. Neurosci. Methods*, 2004; 134(1):9-21.
- [24] EEGLAB freeware, Available online: sccn.ucsd.edu/eeglab
- [25] Lee T. W., Girolami M., Bell A. J. and Sejnowski T. J., A unifying information theoretic framework for independent component analysis; *Comput. Math. Appl.*, 2000; 31:1-21.
- [26] Rutanen K., TIM C++ library, Available online: <http://www.tut.fi/tim>.
- [27] Gomez-Herrero G., Brain connectivity analysis with EEG; PHD Dissertation, Tamper university of technology, 2010.
- [28] Kus R., Kaminski M., and Blinowska K. J., Determination of EEG activity propagation: pair-